

4-1 伊豆東方から本州はるか南方にかけての最近の地震活動

Recent Seismic Activity in the Region from the East off the Izu Peninsula to far South of Honshu

防災科学技術研究所

National Research Institute for Earth Science and Disaster Prevention

1991年4月頃から神津島・新島周辺の地震活動が活発化し、活動域の北上現象が見られた(第1図, 第2図)。最大地震は, M4.6(5月27日10時14分)。

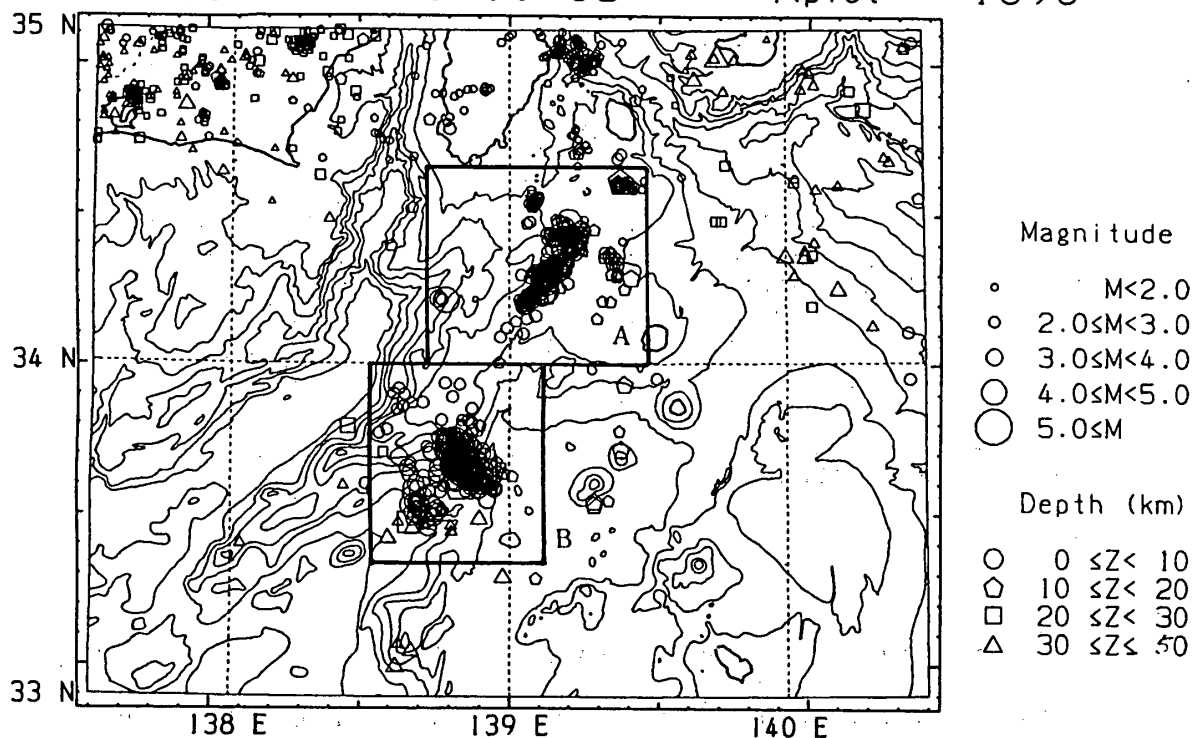
1991年9月3日17時44分に本州はるか南方でM6.1の地震が発生, 余震活動が10月ころまで続いた(第1図, 第3図)。余震は2群に分かれ, 南西の群は10月10~12日に活発化した(第3図)。

1989年10月以降, 銭洲海嶺から伊豆東方にかけての地震活動が活発化している(第4図)。神津島・新島周辺では, 気象庁データによれば1965年から1968年にかけて, 地震活動が活発化し, この期間にM5級の地震が7個発生した(第5図)。

伊豆東方から本州はるか南方にかけての領域の地震の発震機構は, 圧縮軸が北西-南東から南-北の横ズレ型が卓越している(第6図)。本州はるか南方の地震については, 防災科研の発震機構解はばらついている。

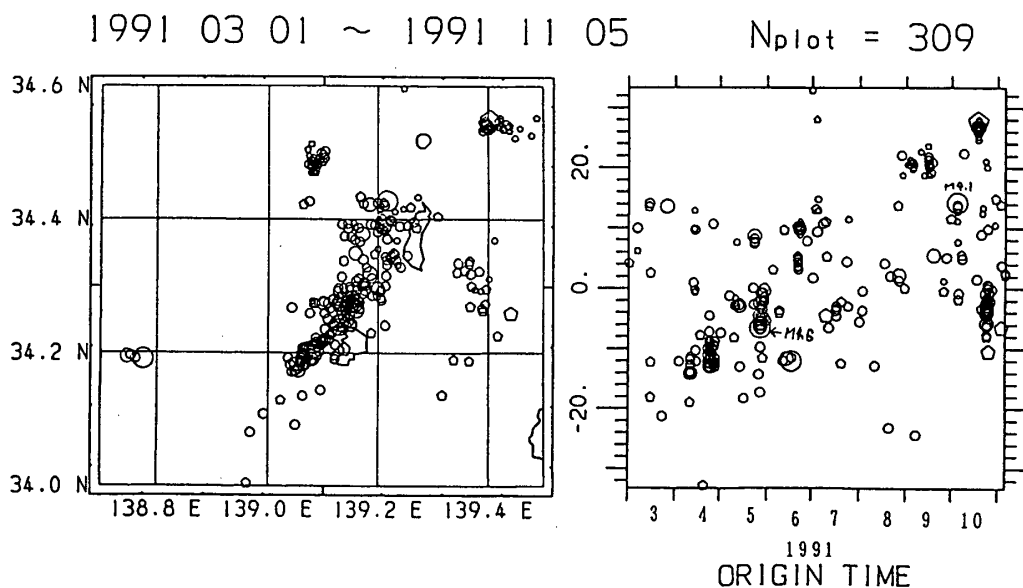
(鵜川元雄)

1991 01 01 ~ 1991 11 05 Nplot = 1090



第1図 伊豆東方から本州はるか南方にかけての震央分布

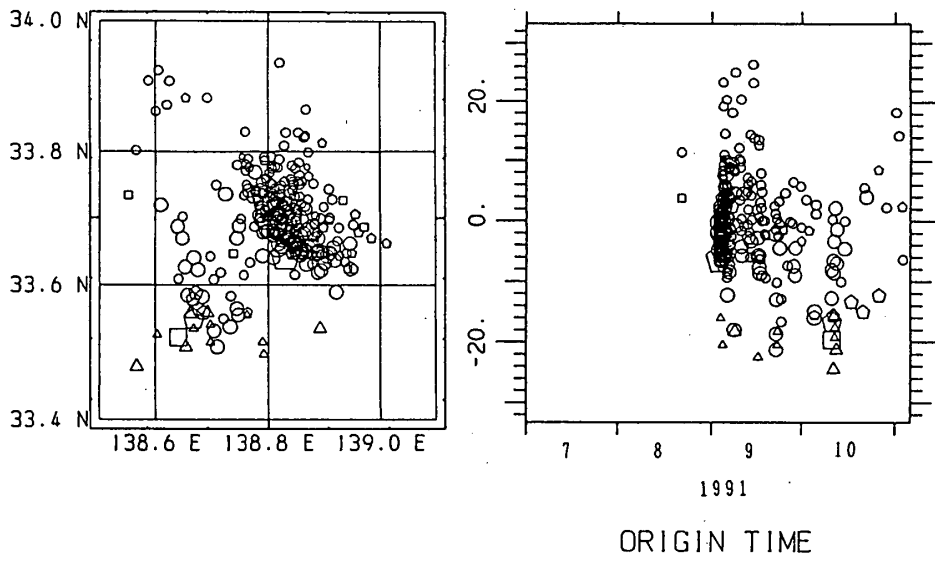
Fig. 1 Epicenter map in the region from the east off the Izu Peninsula to far south of Honshu.



第2図 神津島・新島周辺（第1図A）の震央分布と時空間分布（1991/3/1~1991/11/5）

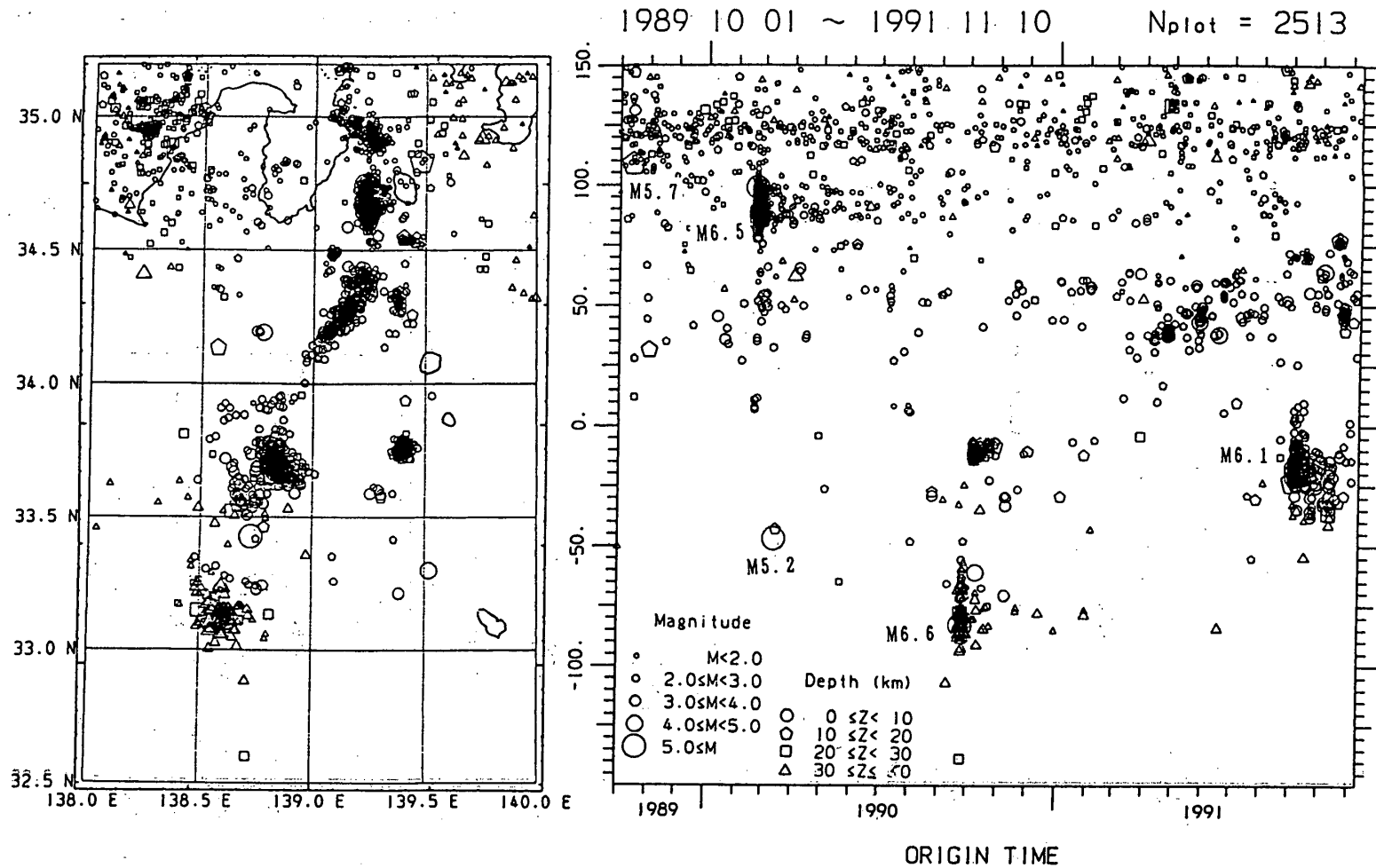
Fig. 2 Epicenter map and space-time plots of earthquakes in and around Kozushima and Nijima islands (1991/3/1 - 1991/11/5).

1991 07 01 ~ 1991 11 05 $N_{plot} = 275$



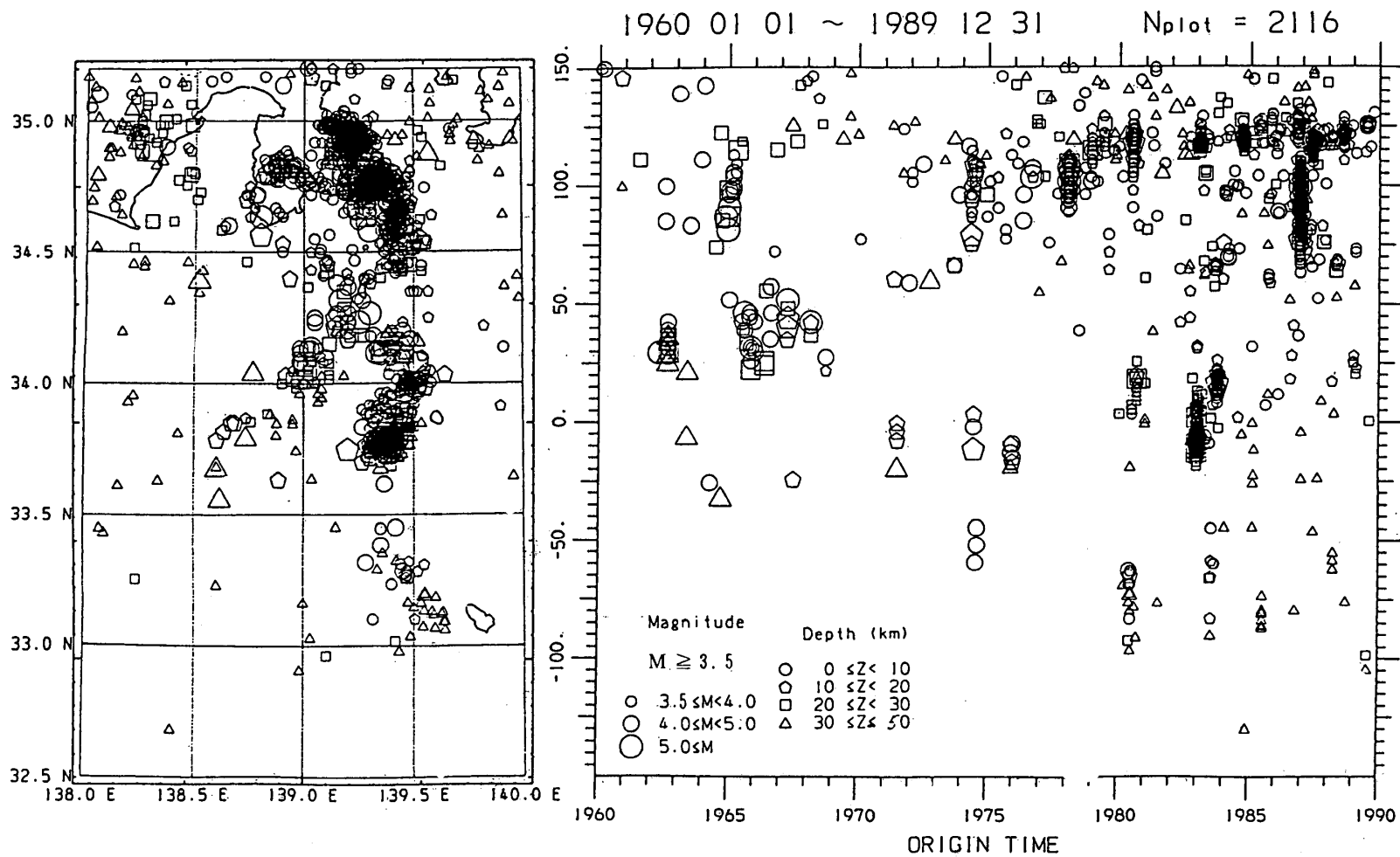
第3図 本州はるか南方（第1図B）の震央分布と時空間分布（1991/7/1~1991/11/5）

Fig. 3 Epicenter map and space-time plots of earthquakes far south of Honshu (1991/7/1 – 1991/11/5).



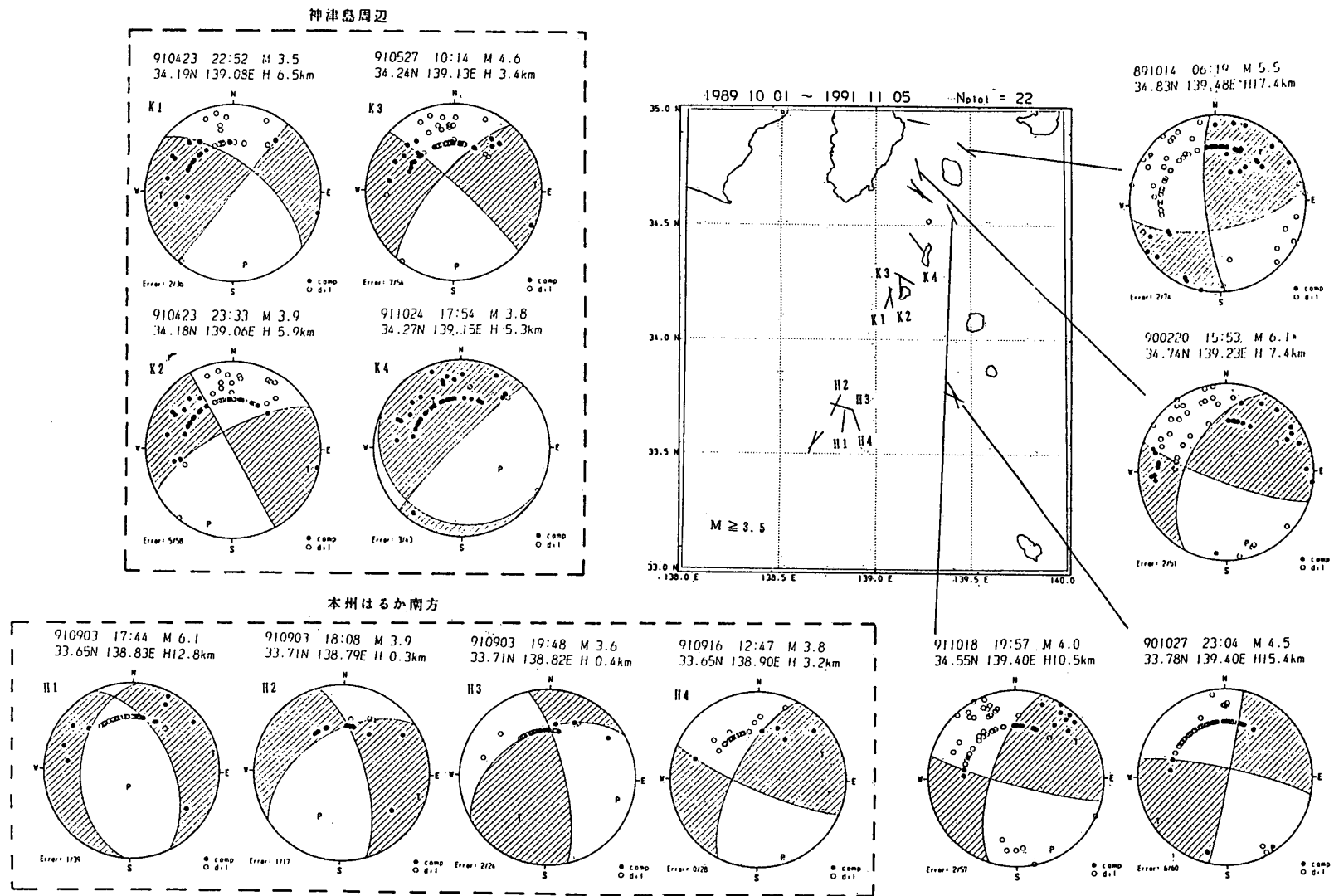
第4図 伊豆東方から本州はるか南方にかけての震央分布と時空間分布。防災科研データ (1989/10/1~1991/11/10)

Fig. 4 Epicenter map and space-time plots for the region from the east off the Izu Peninsula to far south of Honshu on the basis of the NIED data (1989/10/1 - 1991/10/10).



第5図 伊豆東方から本州はるか南方にかけての震央分布と時空間分布。気象庁データよりM3以上(1960/10/1~1989/12/31)

Fig. 5 Epicenter map and space-time plots for the region from the east off the Izu Peninsula to far south of Honshu on the basis of the the JMA data (1989/10/1 - 1991/10/10).



第6図 伊豆東方から本州はるか南方にかけての代表的な発震機構解と圧縮軸方位分布

Fig. 6 Typical focal mechanism solutions and distribution of compressional axes of the earthquakes in the region from the east off the Izu Peninsula to far south of Honshu.